



Web server pour les analyses d'enrichissement Gene Ontology, Réseaux...

Céline Boby – Jérémie Tournayre – Muriel Bonnet

Groupe Biopuce – 19/10/2023

Quelques définitions : Ontologie

Ontologie :

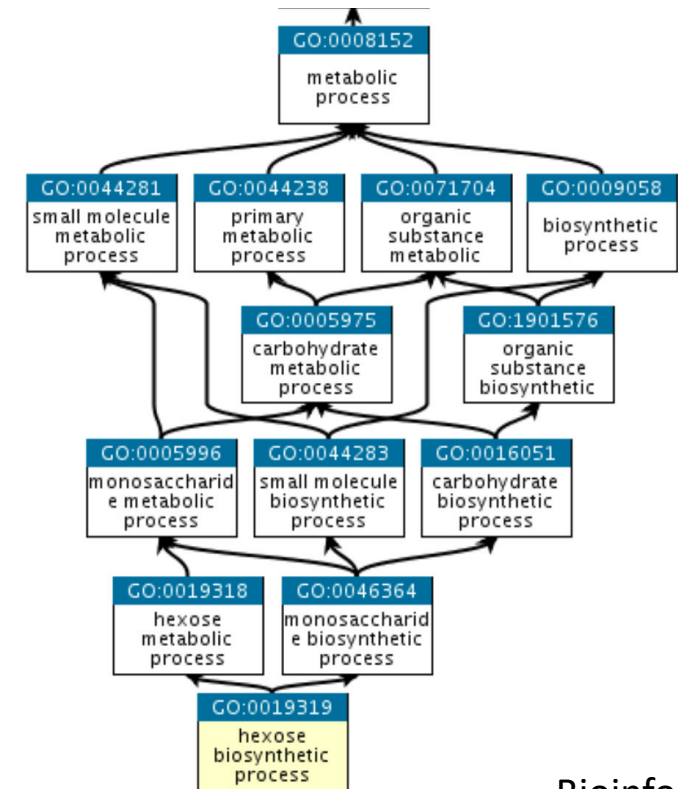
- ensemble structuré de termes et de concepts d'un domaine particulier
- précise les relations entre ces termes et leurs propriétés.
- structure hiérarchique et l'ensemble des termes ancré par un terme de haut niveau : la racine.

Gene Ontology (GO) :

- Vocabulaire contrôlé et structuré qui décrit les gènes et les protéines
- Les protéines jouent un rôle dans une ou plusieurs dizaines de fonctions biologiques.
- 3 types d'information :
 - processus biologiques (BP)
 - compartiments cellulaires (CC)
 - fonctions moléculaires (MF).



<http://geneontology.org/>



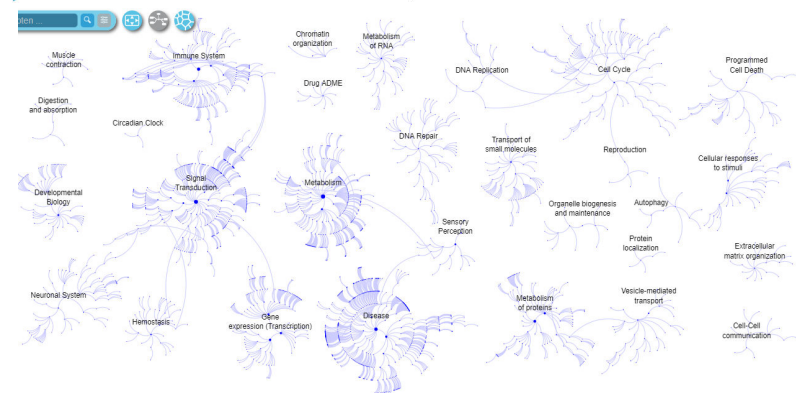
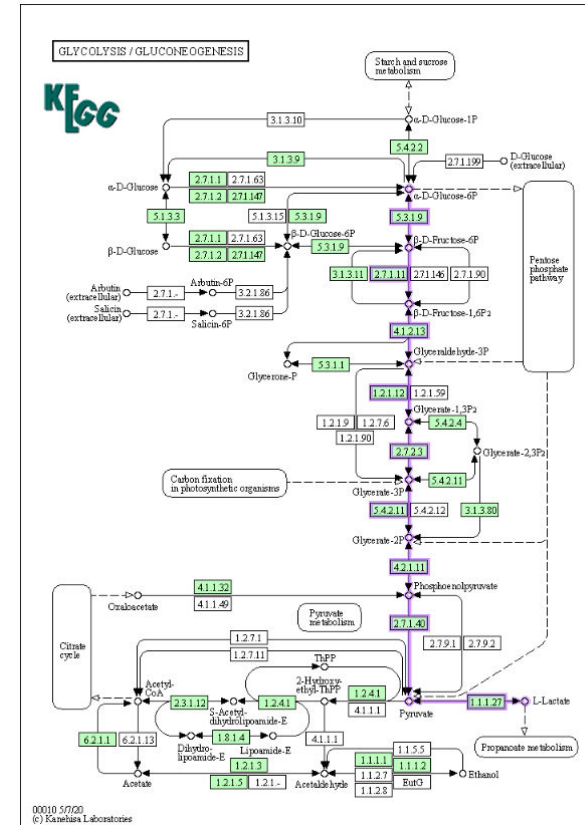
Quelques définitions : Voie biologique/pathways

Processus biologiques :

- constitués d'un certain nombre de **réactions formant des voies** qui transforment des espèces chimiques en produits utiles.
- peuvent créer des **biomolécules complexes**, transformer **l'énergie** d'une forme à une autre ou diriger l'assemblage de **systèmes multicellulaires complexes**.
- sont souvent représentés sous la forme de **réseaux**

Différentes bases de données de pathways :

- **KEGG PATHWAY** : collection de « pathways maps » pour le **métabolisme**, les **processus cellulaires**, les maladies humaines...
- **Reactome** : Base de données de molécules de signalisation et de métabolisme
- **Panther** (Protein ANALysis THrough Evolutionary Relationships) : Base de données annotée d'arbres phylogénétiques de familles de gènes.
- **Biocarta**
- **WikiPathways** : ressource **communautaire** (non reviewé)...



Autres bases de données

Interactions protéiques (PPI) :

- Psiquic
- String
- Uniprot
- Happi-2
- IntAct
- BioGrid...

Spécificité tissulaire : Human protein atlas (recense toutes les protéines humaines dans les cellules, les tissus et les organes)...

miRNA : miRTarBase...

Facteurs de transcriptions : Transfac...

Complexes protéiques : CORUM

Pathologies humaines : Human Phenotype Ontology

...

Bases de données Bovines :

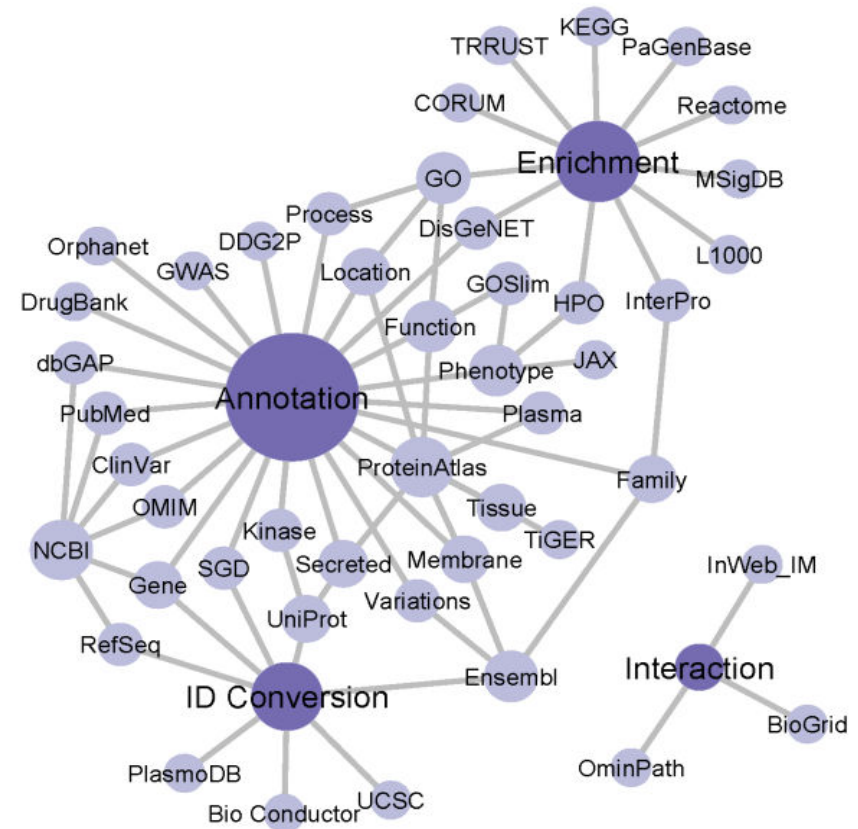


- Bovine Genome DataBase

<https://bovinegenome.elsiklab.missouri.edu/>

- miRNA : RumimiR database

<http://rumimir.sigena.org/>



Supplementary Figure 8. Over 40 data sources are integrated in Metascape to support its CAME analysis workflow (also see Supplementary Data 2).

Zhou Y *et al.*, 2019

Analyses d'Enrichissement Over-Representation Analysis (ORA)

Met en évidence les **fonctions biologiques (GO/pathways) les plus représentatives** d'un jeu de données (liste gènes/prot.)

La **p-value associée** à un terme représente la **probabilité d'obtenir ce terme** dans les résultats d'annotation si on effectuait un **tirage au hasard** → caractérise le caractère **significatif** ou non de la surreprésentation de ce terme.

Plus la p-value est **faible**, plus le terme GO est dit « **enrichi** » et plus la présence de ce terme dans la liste de gènes étudiés est significative.

ORA example: Fisher's exact test

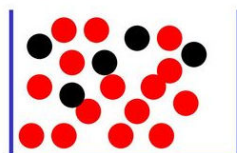
a.k.a., the hypergeometric test

Gene list

- RRP6
- MRD1
- RRP7
- RRP43
- RRP42



Formal question: *What is the probability of finding 4 or more black genes in a random sample of 5 genes?*



Background population:
500 black genes,
5000 red genes

Attendu vs observé ?

Table de contingence 2 x 2	Nombre d'identifiants dans la liste de référence	Nombre d'identifiants dans la liste expérimentale	Totaux
Annotés par le terme GO	X	Z	$\sum_{1,*}$
Non annotés par le terme GO	N - X	T - Z	$\sum_{2,*}$
Totaux	$\sum_{*,1}$	$\sum_{*,2}$	$\sum_{*,*}$

Tableau 5: Table de contingence deux à deux utilisée pour calculer l'enrichissement d'un terme GO qui annote une liste Z de gènes par rapport à la liste X des gènes de l'espèce.

Kaspric, 2016

Etude bibliographique :

42 outils web d'enrichissement GO répertoriés et testés

Critères les plus importants :

- Web servers régulièrement maintenus
- Bases de données mises à jour
- Représentations graphiques informatives et fiables

→ 7 outils retenus :



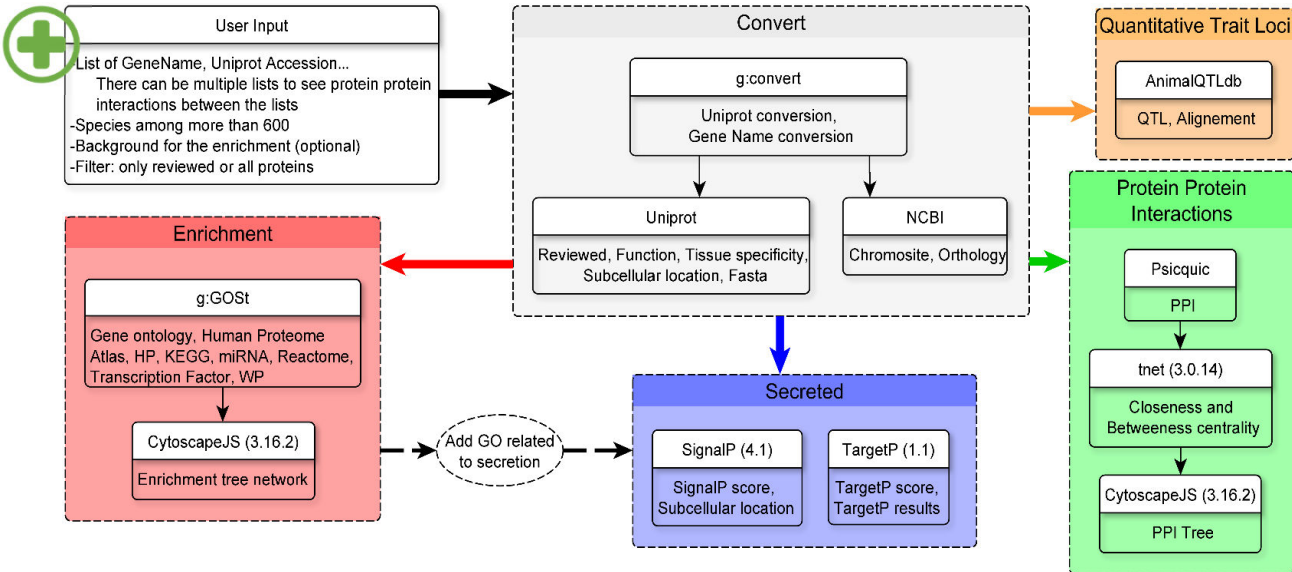
ShinyGO





https://umrh-bioinfo.clermont.inrae.fr/ProteINSIDE_2/

- Publié en 2015 – nouvelle version en 2021
- Outils interrogés en temps réels
- 600 espèces 🐮 🐴 🐑
- Grandes listes (> 3000 ID)



Convert :

	A	B	C	D	E	F	G	H	I	J	K	L	M
1	Uniprot	Reviewed	User query	Ensembl	Entry name	Protein name	Gene names	geneID(s)	Function	Chromosome	Tissue specificity	Subcellular location [CC]	Isoform(s)
2	A6NKQ9	reviewed	A6NKQ9	ENSG000002	CGB1_HUMA	Choriogonad	CGB1	114335		19 NC_00001	Expressed in plac	Secreted.	A6NKQ9-1; A6
3	O00217	reviewed	O00217	ENSG000001	NDUS8_HUM	NADH dehyd	NDUFS8	4728	Core subunit	11 NC_00001	Expressed in all ti	Mitochondrion inner membrane; Periph	
4	O14556	reviewed	O14556	ENSG000001	G3PT_HUMA	Glyceraldehy	GAPDHS	26330	May play an in	19 NC_00001	Testis specific.	Cytoplasm.	
5	O43555	reviewed	O43555	ENSG000001	GON2_HUM	Progonadolil	GNRH2	2797	Stimulates th	20 NC_00002	Midbrain; expres	Secreted.	O43555-1; O43
6	O60825	reviewed	O60825	ENSG000001	F262_HUMA	6-phosphofr	PFKFB2	5208	Synthesis and	1 NC_00001	Heart.		O60825-1; O60
7	O75306	reviewed	O75306	ENSG000001	NDUS2_HUM	NADH dehyd	NDUFS2	4720	Core subunit	1 NC_00001.11	(161197417..16	Mitochondrion inner men	O75306-1; O75
8	O75356	reviewed	O75356	ENSG000001	ENTP5_HUM	Nucleoside c	ENTPD5	957	Hydrolyzes nu	14 NC_00001	Expressed in adul	Endoplasmic reticulum. Secreted.	
9	O75489	reviewed	O75489	ENSG000002	NDUS3_HUM	NADH dehyd	NDUFS3	4722	Core subunit	11 NC_00001.10	(47579074..47	Mitochondrion inner men	O75489-1; O75
10	O75947	reviewed	O75947	ENSG000001	ATP5H_HUM	ATP synthase	ATP5PD	10476	Mitochondria	17 NC_00001.11	(75038863..75	Mitochondrion. Mitochon	O75947-1; O75

ProteInside v2 - suite

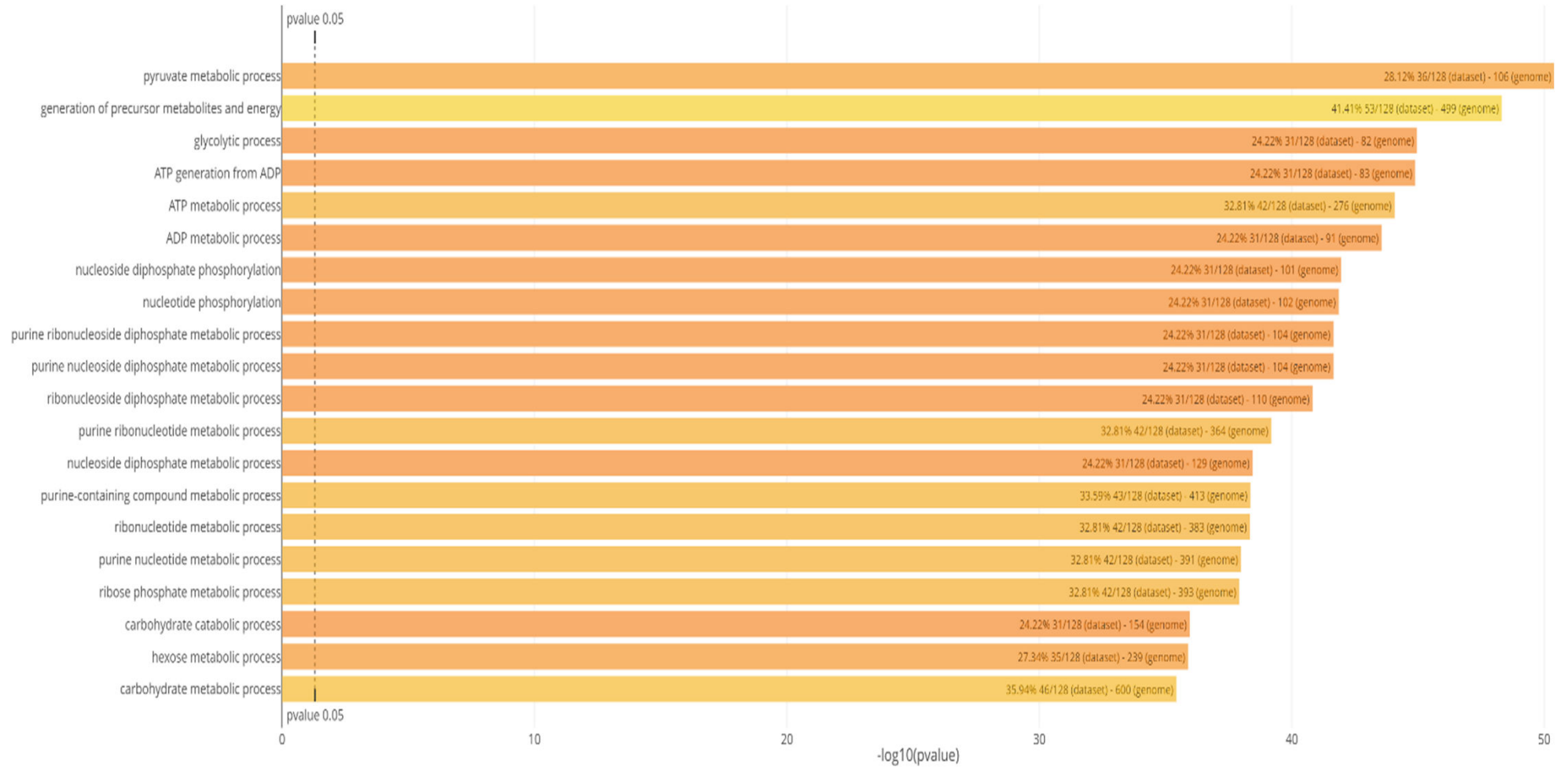
Enrichment :

A- table

	A	B	C	D	E	F	G	H	I	J
1	GO_BP	Name	Gene Name	Ensembl	Protein Name	Uniprot	Query	Term frequency within the dataset (%)	Term frequency within the genome (%)	P-value (fdr)
2	GO:0006090	pyruvate metabolic process	GAPDHS PFKFB2	ENSG000001	'Glyceraldehyde-	O14556 O14556	O14556	28.12 36/128	33.96 36/106	3.997e-51
3	GO:0006091	generation of precursor metabolites and energy	NDUFS8 GAPDHS	ENSG000001	'NADH dehydrog-	O00217 O00217	O00217	41.41 53/128	10.62 53/499	4.840e-49
4	GO:0006096	glycolytic process	GAPDHS PFKFB2	ENSG000001	'Glyceraldehyde-	O14556 O14556	O14556	24.22 31/128	37.80 31/82	1.093e-45
5	GO:0006757	ATP generation from ADP	GAPDHS PFKFB2	ENSG000001	'Glyceraldehyde-	O14556 O14556	O14556	24.22 31/128	37.35 31/83	1.302e-45
6	GO:0046034	ATP metabolic process	NDUFS8 GAPDHS	ENSG000001	'NADH dehydrog-	O00217 O00217	O00217	32.81 42/128	15.22 42/276	8.577e-45
7	GO:0046031	ADP metabolic process	GAPDHS PFKFB2	ENSG000001	'Glyceraldehyde-	O14556 O14556	O14556	24.22 31/128	34.07 31/91	2.782e-44
8	GO:0006165	nucleoside diphosphate phosphorylation	GAPDHS PFKFB2	ENSG000001	'Glyceraldehyde-	O14556 O14556	O14556	24.22 31/128	30.69 31/101	1.104e-42
9	GO:0046939	nucleotide phosphorylation	GAPDHS PFKFB2	ENSG000001	'Glyceraldehyde-	O14556 O14556	O14556	24.22 31/128	30.39 31/102	1.382e-42
10	GO:0009179	purine ribonucleoside diphosphate metabolic process	GAPDHS PFKFB2	ENSG000001	'Glyceraldehyde-	O14556 O14556	O14556	24.22 31/128	29.81 31/104	2.233e-42
11	GO:0009135	purine nucleoside diphosphate metabolic process	GAPDHS PFKFB2	ENSG000001	'Glyceraldehyde-	O14556 O14556	O14556	24.22 31/128	29.81 31/104	2.233e-42
12	GO:0009185	ribonucleoside diphosphate metabolic process	GAPDHS PFKFB2	ENSG000001	'Glyceraldehyde-	O14556 O14556	O14556	24.22 31/128	28.18 31/110	1.522e-41
13	GO:0009150	purine ribonucleotide metabolic process	GAPDHS PFKFB2	ENSG000001	'Glyceraldehyde-	O14556 O14556	O14556	32.81 42/128	11.54 42/364	6.392e-40
14	GO:0009132	nucleoside diphosphate metabolic process	GAPDHS PFKFB2	ENSG000001	'Glyceraldehyde-	O14556 O14556	O14556	24.22 31/128	24.03 31/129	3.515e-39
15	GO:0072521	purine-containing compound metabolic process	GAPDHS PFKFB2	ENSG000001	'Glyceraldehyde-	O14556 O14556	O14556	33.59 43/128	10.41 43/413	4.410e-39

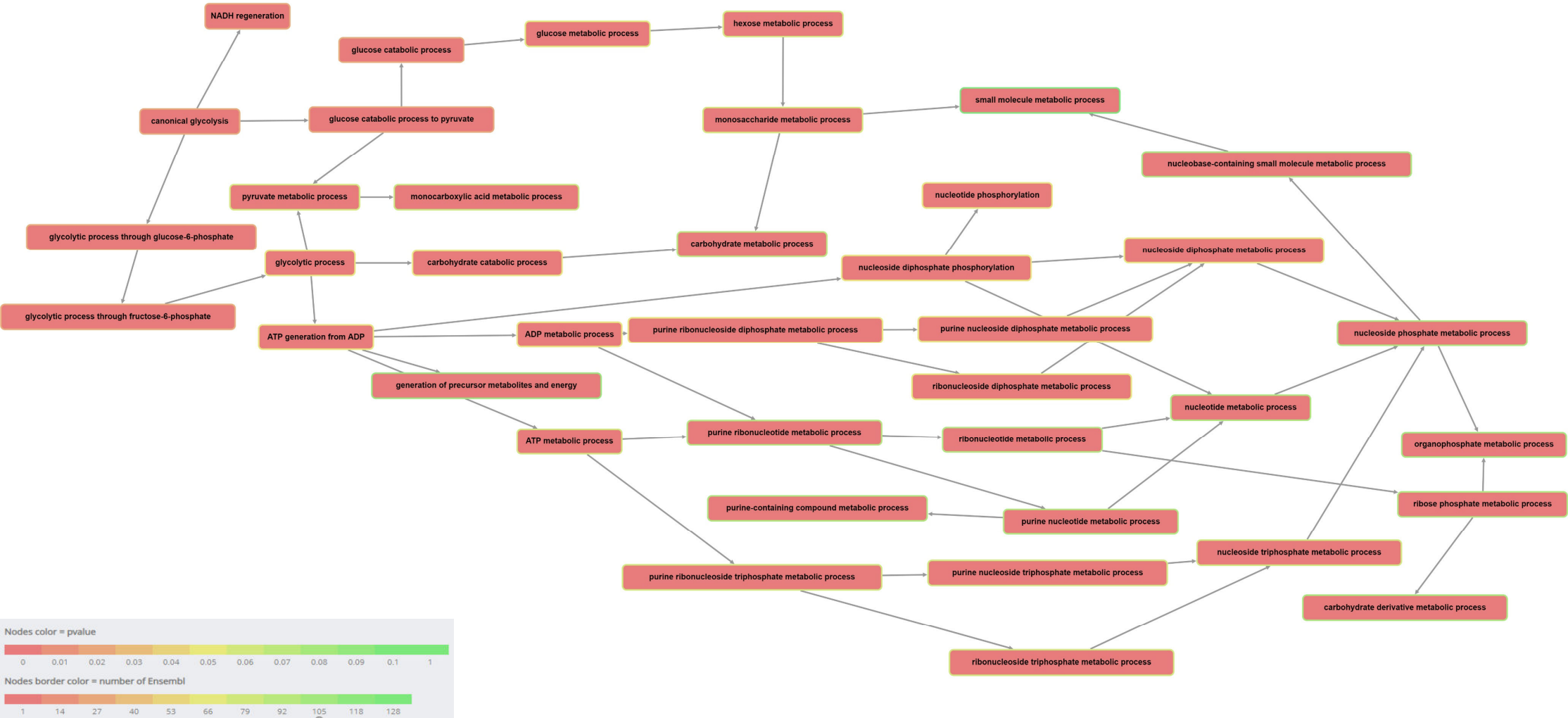
ProteInside v2 - suite

Enrichment :
B- barplot



ProtelInside v2 - suite

Enrichment :
C- Enrichment Tree Network



ProteInside v2 - suite

Prédiction des protéines secrétées : secretome

Secreted proteins

(SignalP = "Yes" for signal peptide on the sequence)

signalp-4.1/signalp -t euk -u 0.34 -U 0.34

targetp-1.1/targetp -N -s 0.00 -t 0.78 -o 0.73

The column "Subcellular location = secreted" is set to "Yes" when the keyword "secret" is found in the column "Subcellular location [CC]" (get from uniprot data) in the "Convert" module.

Date of analysis: 2022 June 07

Toggle column: **Isoform** Uniprot User query Ensembl Entry Name Protein Name Gene Name SignalP score Subcellular location = secreted GO related to secretion Nb GO terms TargetP results TargetP score

Copy CSV Excel Show 10 rows

Search:

Isoform	Uniprot	User query	Ensembl	Entry Name	Protein Name	Gene Name	SignalP score	Subcellular location = secreted	GO related to secretion	Nb GO terms	TargetP results	TargetP score
A6NKQ9-1	A6NKQ9	A6NKQ9	ENSG00000267631	CGB1_HUMAN	Choriogonadotropin subunit beta variant 1	CGB1	0.541	Yes	GO:0005576	1	-	3
A6NKQ9-2	A6NKQ9	A6NKQ9	ENSG00000267631	CGB1_HUMAN	Choriogonadotropin subunit beta variant 1	CGB1	0.907	Yes	GO:0005576	1	Signal peptide	2
O00217-1	O00217	O00217	ENSG00000110717	NDUS8_HUMAN	NADH dehydrogenase	NDUF58	0.530	No		0	Mitochondrion	2
O43555-1	O43555	O43555	ENSG00000125787	GON2_HUMAN	Progonadoliberin-2	GNRH2	0.905	Yes	GO:0005576	1	Signal peptide	2
O43555-2	O43555	O43555	ENSG00000125787	GON2_HUMAN	Progonadoliberin-2	GNRH2	0.904	Yes	GO:0005576	1	Signal peptide	2
O43555-3	O43555	O43555	ENSG00000125787	GON2_HUMAN	Progonadoliberin-2	GNRH2	0.904	Yes	GO:0005576	1	Signal peptide	2
O75306-1	O75306	O75306	ENSG00000158864	NDUS2_HUMAN	NADH dehydrogenase	NDUF52	0.383	No		0	Mitochondrion	2
O75306-2	O75306	O75306	ENSG00000158864	NDUS2_HUMAN	NADH dehydrogenase	NDUF52	0.383	No		0	Mitochondrion	2
O75356-1	O75356	O75356	ENSG00000187097	ENTP5_HUMAN	Nucleoside diphosphate phosphatase ENTPD5	ENTPD5	0.767	Yes	GO:0005576 GO:0012505	2	Signal peptide	1

ProteInside v2 - suite

Proteins-proteins interactions :
PPI Tree

Options:

Detection method(s): All
 inferred by curator (906)
 biochemical (106)
 anti tag coimmunoprecipitation (104)
 experimental knowledge based (75)
 two hybrid array (62)
 affinity chromatography technology (60)
 two hybrid (59)
 two hybrid prey pooling approach (42)
 x-ray crystallography (47)

Nb of interaction: Min: 0 Max: 37 Uniprot:

Betweenness centrality: Min: 0 Max: 2018.9 Layout: Force-directed (fcose)

Closeness centrality: Min: 0 Max: 0.44 Download network as: jpg Quality: average

Display: Display only one edge by PPI Protein Name Gene Name Uniprot User query Entry Name Ensembl

Apply:

Network: (multiple selection : CTRL + Click)

Click on nodes for information.

Legend:

inferred by curator	biochemical	anti tag coimmunoprecipitation	experimental knowledge based	two hybrid array	affinity chromatography technology	two hybrid	two hybrid prey pooling approach	x-ray crystallography	validated two hybrid	molecular sieving	two hybrid fragment pooling approach	proximity-dependent biotin identification	cross-linking study	transmission electron microscopy	pull down	in vitro	fluorescence technology	experimental interaction detection	fluorescent resonance energy transfer	blue native page	dynamic light scattering
---------------------	-------------	--------------------------------	------------------------------	------------------	------------------------------------	------------	----------------------------------	-----------------------	----------------------	-------------------	--------------------------------------	---	---------------------	----------------------------------	-----------	----------	-------------------------	------------------------------------	---------------------------------------	------------------	--------------------------

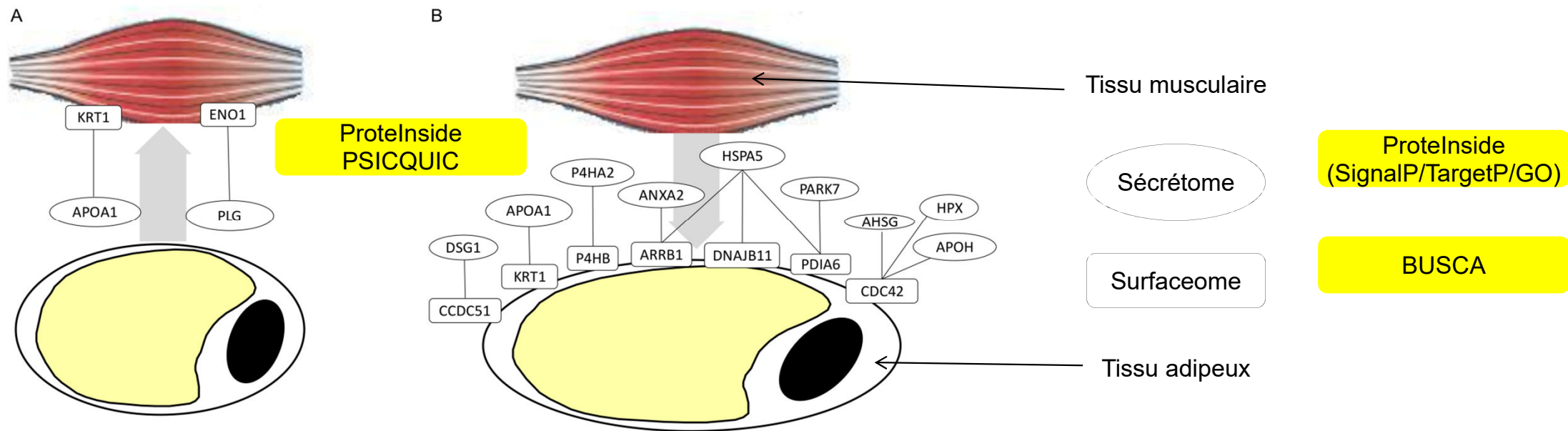


Interactions protéiques
entre 2 listes

ProteInside v2 - suite

Prochainement : **prédiction des protéines membranaires (surfaceome)**

➔ **Interaction entre le surfaceome d'un tissu et le secretome d'un autre tissu pour étudier le dialogue inter-organe.**



Réseau de protéines en interaction entre (A) les protéines potentiellement sécrétées par les cellules adipeuses et les protéines de la surface cellulaire musculaire ou (B) entre les protéines musculaires et de la surface cellulaire adipeuse (Bonnet et al. 2020).

<https://reactome.org/>



- Publié en 2004 et évolue régulièrement (14 publi highly cited)
- Grandes listes (> 3000 ID)



Base de données de réseaux et de réactions en **biologie humaine**

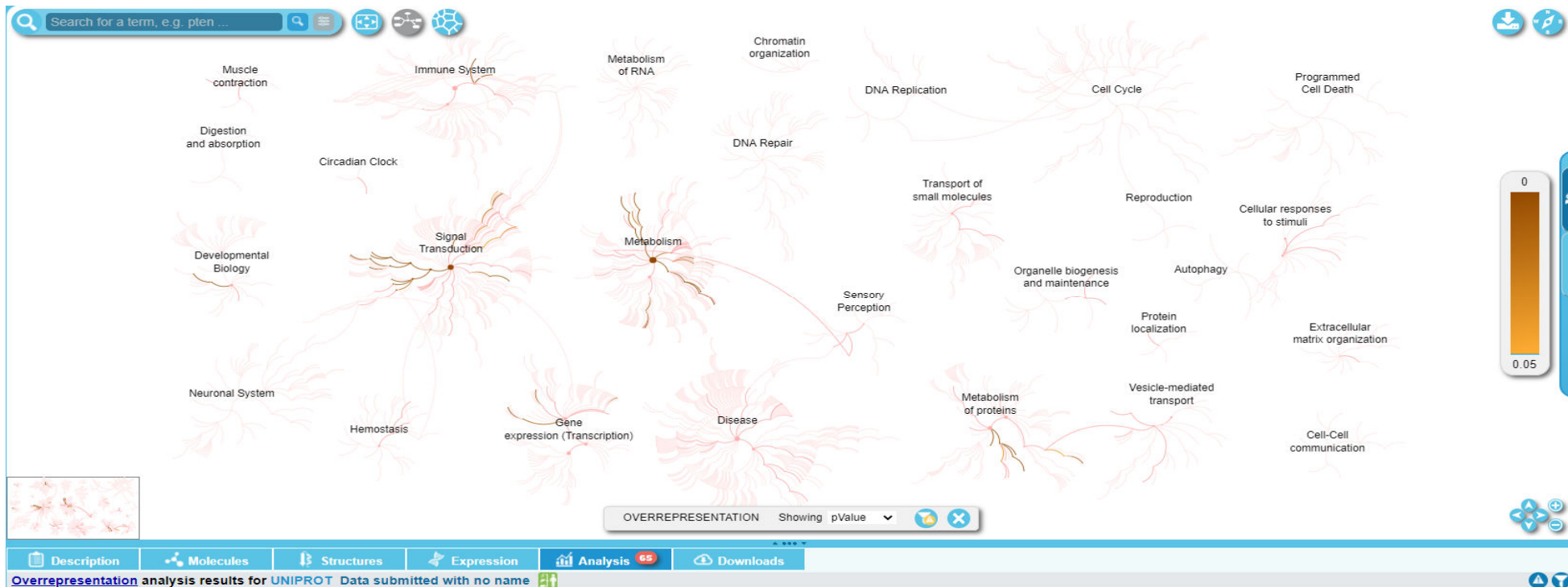
(tout événement qui modifie l'état d'une molécule biologique : liaison, activation, translocation, dégradation...)

+ stratégie d'**inférence par orthologie** pour 15 espèces eucaryotes dont **bovin**

Interroge d'autres bases de données dont **KEGG** et **GO**

Possibilité d'analyses **time-lapse**

Guide pour **analyses multi-omiques**



Reactome - suite

Search for a term, e.g. pten ...

Signal transduction

Metabolism

Glycolysis

Sensory Perception

OVERREPRESENTATION Showing pValue

Description Molecules Structures Expression Analysis 65 Downloads

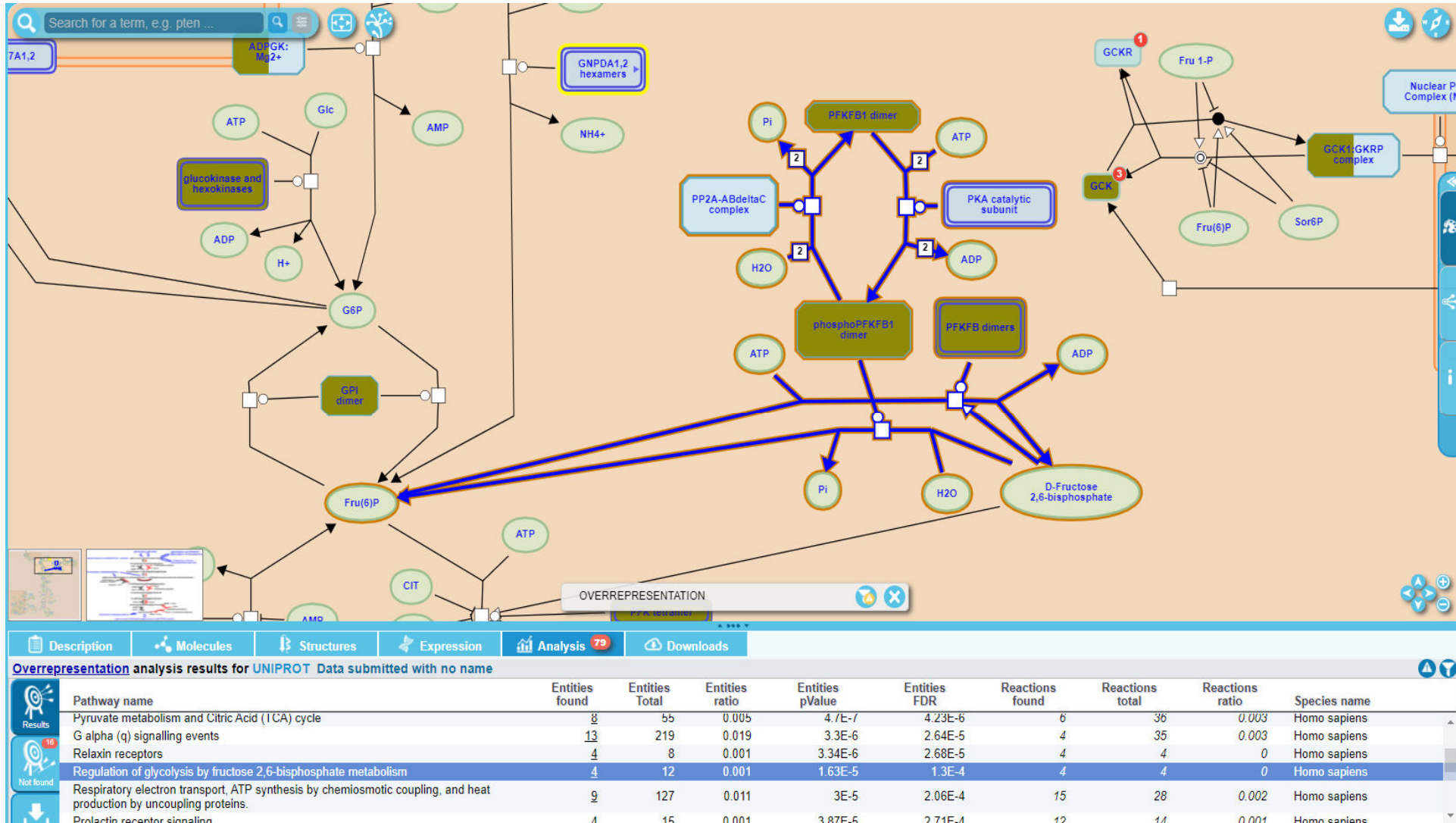
Overrepresentation analysis results for UNIPROT Data submitted with no name

Back to results overview Matching identifiers for: Glycolysis

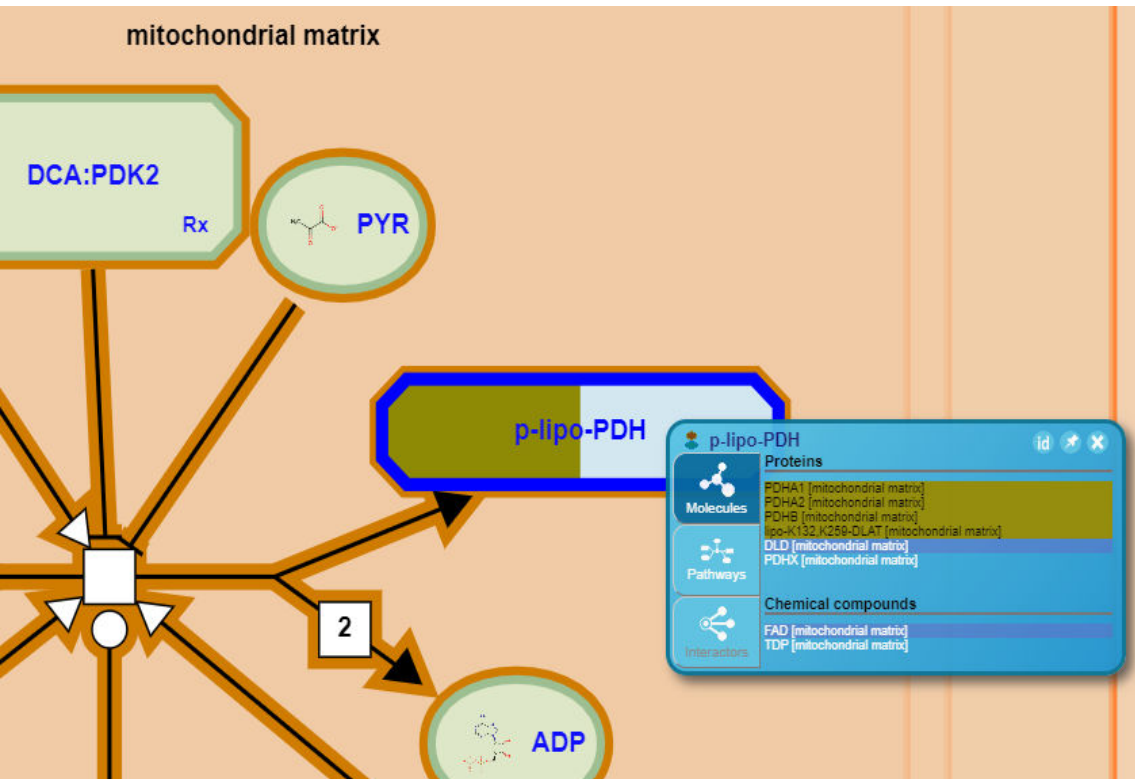
Identifiers found (30)	Resource UNIPROT (31)
P08237	P08237
P04075	P04075
P06733	P06733
P07738	P07738

1/30 of 30

Reactome - suite



Reactome - suite



PDF report :

The following table shows the 25 most relevant pathways sorted by p-value.

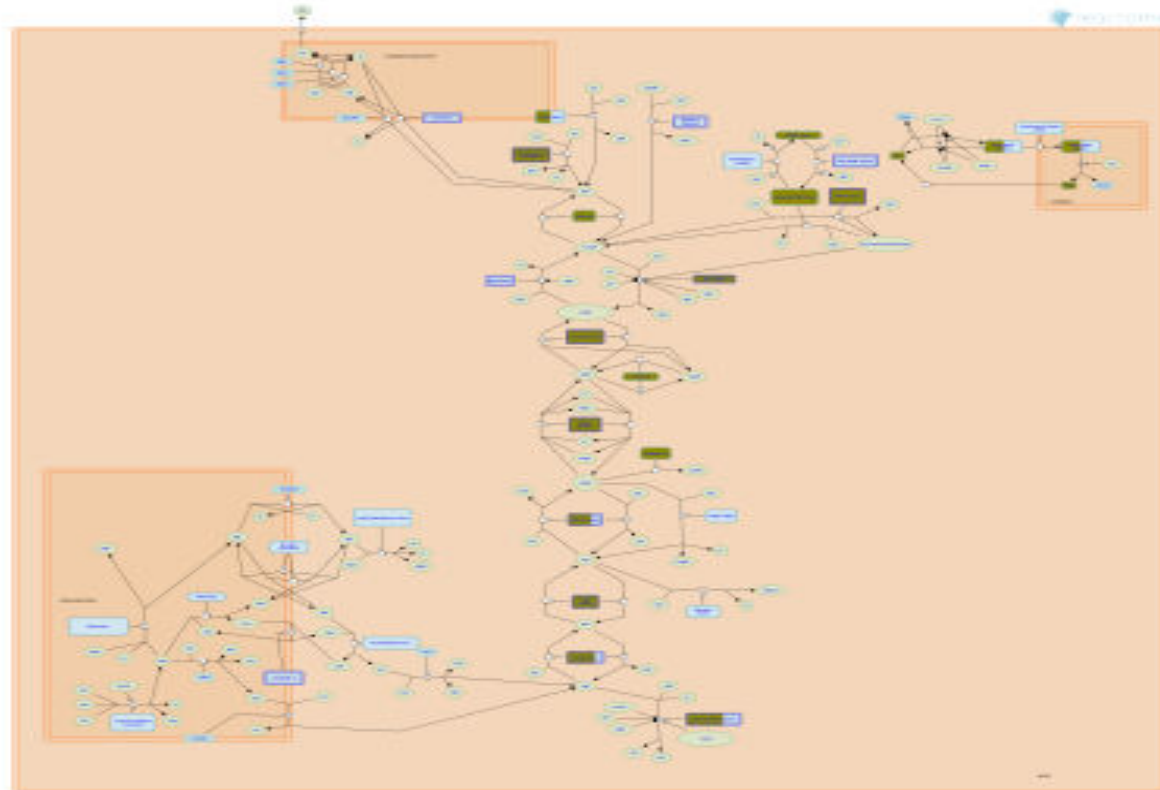
Pathway name	Entities				Reactions	
	found	ratio	p-value	FDR*	found	ratio
Glycoprotein hormones	10 / 10	8.90e-04	1.11e-16	2.11e-15	4 / 4	2.95e-04
Peptide hormone biosynthesis	11 / 12	0.001	1.11e-16	2.11e-15	5 / 5	3.68e-04
Glycolysis	31 / 78	0.007	1.11e-16	2.11e-15	21 / 24	0.002
Peptide hormone metabolism	18 / 90	0.008	1.11e-16	2.11e-15	38 / 63	0.005
Glucose metabolism	31 / 98	0.009	1.11e-16	2.11e-15	28 / 50	0.004
Gluconeogenesis	14 / 34	0.003	1.11e-16	2.11e-15	7 / 26	0.002
GPCR ligand binding	45 / 469	0.042	1.11e-16	2.11e-15	41 / 187	0.014
G alpha (s) signalling events	25 / 147	0.013	1.11e-16	2.11e-15	3 / 18	0.001

Reactome - suite

5. Glucose metabolism (R-HSA-70326)



PDF report :



Glucose is the major form in which dietary sugars are made available to cells of the human body. Its breakdown is a major source of energy for all cells, and is essential for the brain and red blood cells. Glucose utilization begins with its uptake by cells and conversion to glucose 6-phosphate, which cannot traverse the cell membrane. Fates open to cytosolic glucose 6-phosphate include glycolysis to yield pyruvate, glycogen synthesis, and the pentose phosphate pathway. In some tissues, notably the liver and kidney, glucose 6-phosphate can be synthesized from pyruvate by the pathway of gluconeogenesis.




<http://bioinformatics.sdstate.edu/go/>

ShinyGO

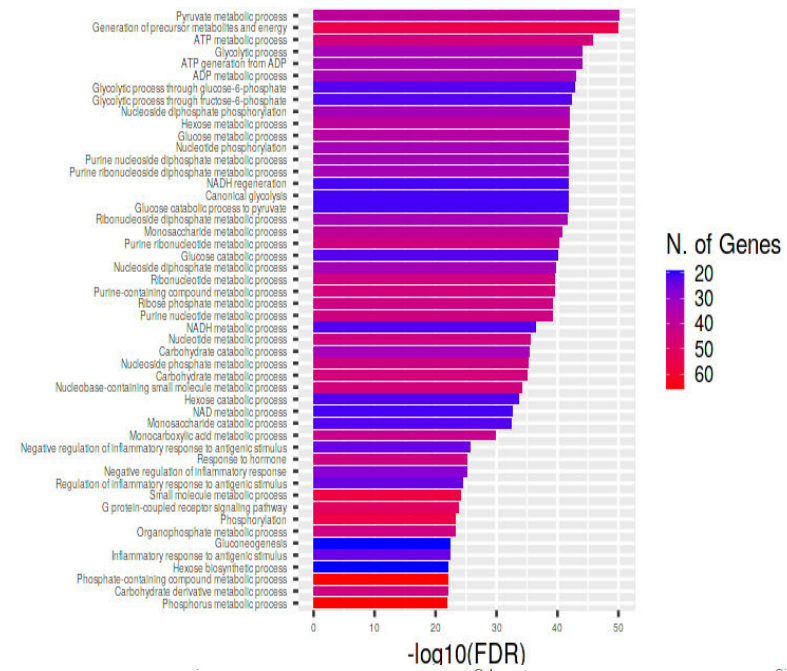
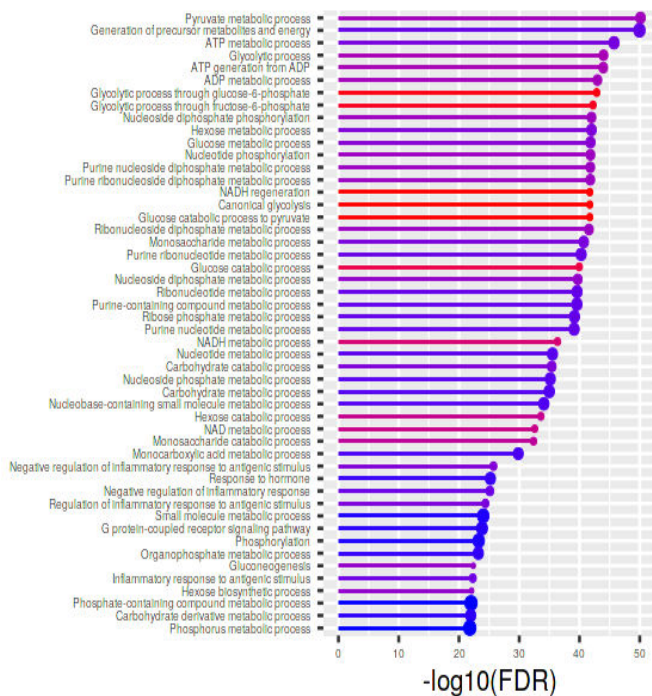


Appli web graphique utilisant package R Shiny : visualisation graphique des résultats d'enrichissements (GO, KEGG, Panther, Reactome, Facteurs de Transcription, miRNAs, CORUM)



- Publié en 2020 et évolue régulièrement (highly cited)
- Grandes listes (> 3000 ID)
- Nombreuses espèces   

BarChart facilement configurables : GO BP :



Sort Pathway by:

Font Size:

Chart type:

x-axis:

Circle Size:

Aspect Ratio:

Color:

Color:High:

Color:Low:

Size:

Color:Low:

High Resolution

PDF

Sort Pathway by:

Font Size:

Chart type:

x-axis:

Circle Size:

Aspect Ratio:

Color:

Color:Low:

High Resolution

PDF

Aussi possible avec enrichissement pathways KEGG, Reactome, Panther...

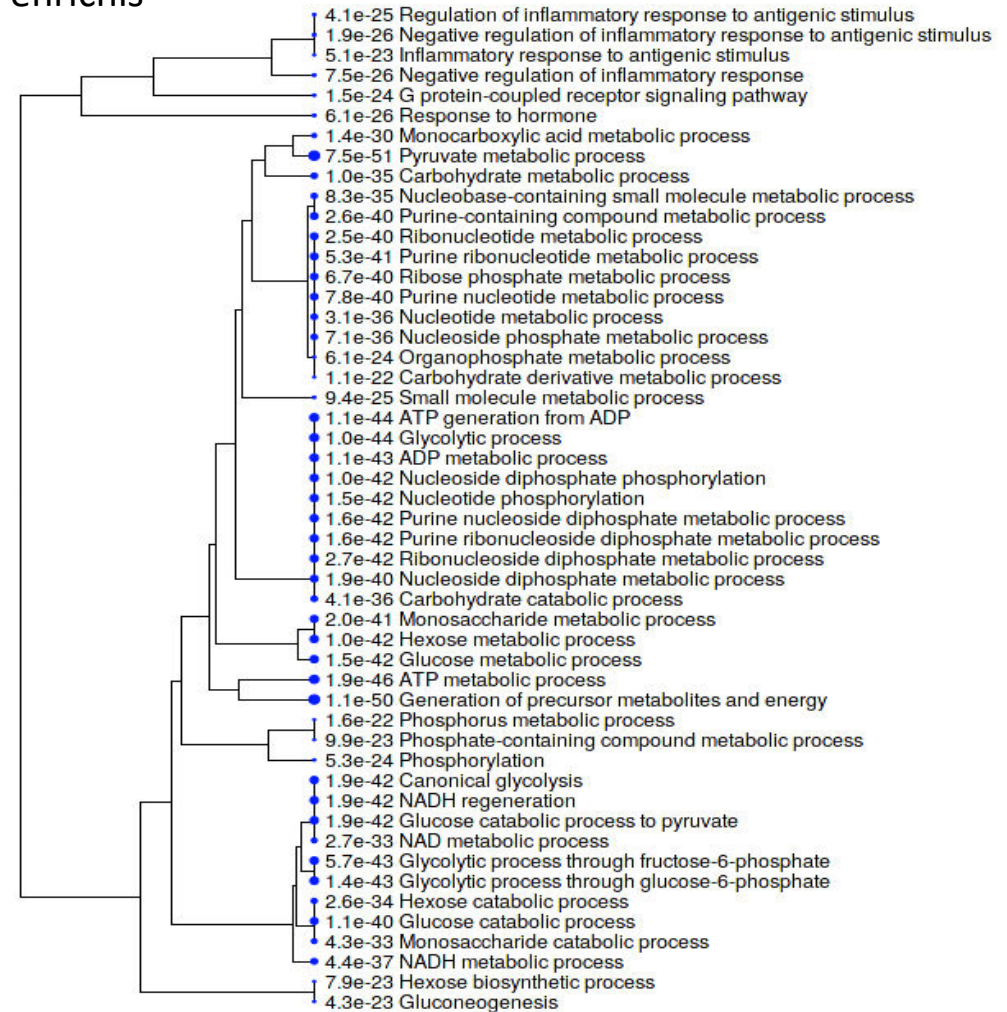
ShinyGO - suite

Clustering hiérarchique: corrélation entre les GO/pathways les plus enrichis

Basé sur le nombre de gènes en commun

Points les + gros : meilleures p-values

GO BP :



ShinyGO - suite

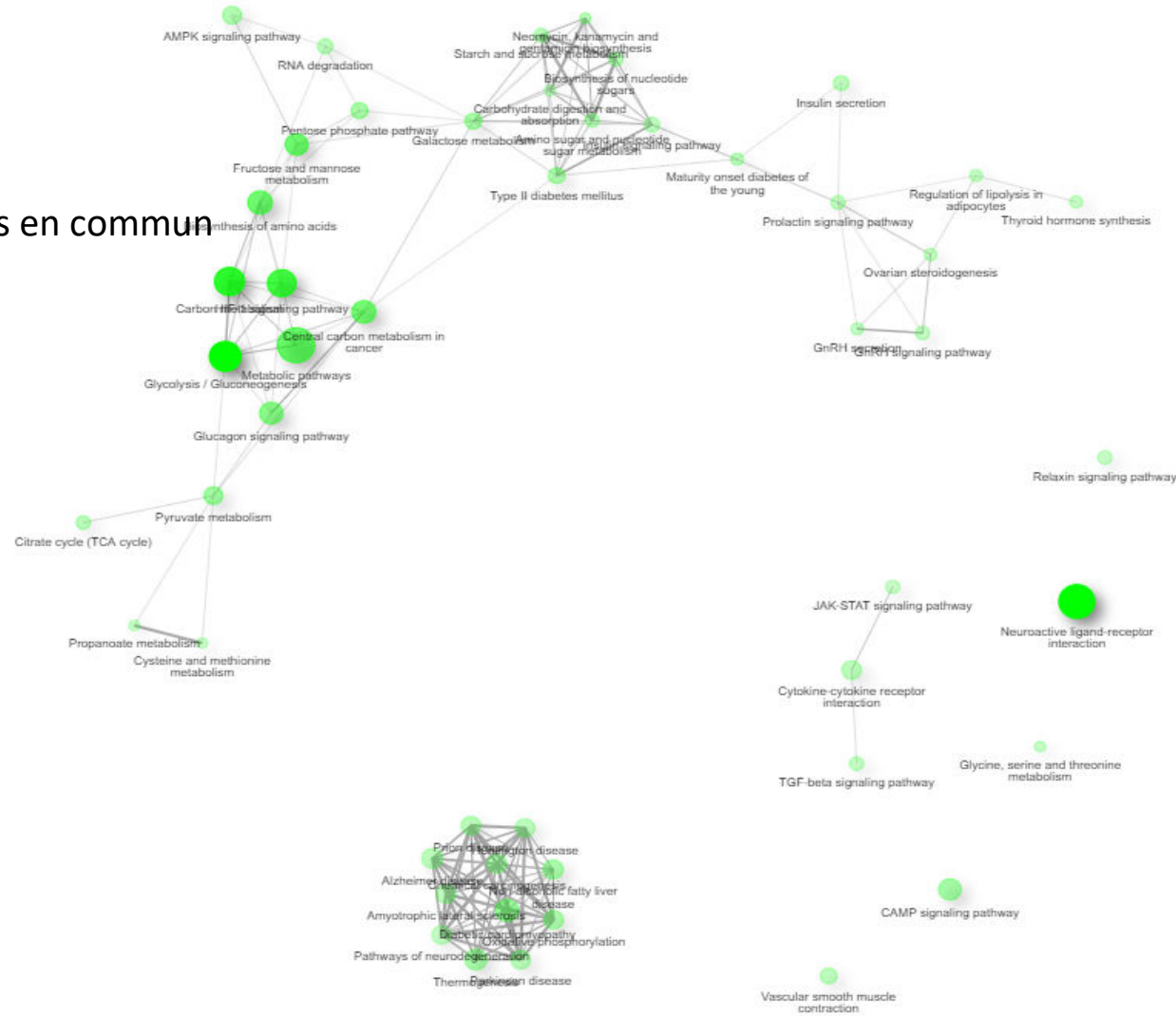
Network : relation entre les GO/pathways enrichis

2 nœuds reliés si au moins 20% de gènes en communs

Points les + foncés : meilleures p-value

Epaisseur des lignes proportionnelle au nombre de gènes en commun

KEGG pathways :



ShinyGO - suite



Classification des gènes par groupe très intéressante :
gènes regroupés par **catégories fonctionnelles** définies par des termes GO de haut niveau.

N	High level GO category	Genes
58	Regulation of biological quality	TG UTS2 GAL PRLH AVP OXT LHB RETN HAMP GCK CALCA ATP5F1B GAPDH STC2 POMC GCG TTR NPPB IAPP COPA INHBA PFKFB2 INHA ADM2 EPO FSHB KL TSHB CGA ADCYAP1 PFKL VIP CRH ADM ALDOA PTH PFKM HK1 GHRL STC1 GIP HK2 HK3 INHBB UCN TRH APLN PRL BPGM NPPA CALCB UCN3 ADIPOQ CCK UTS2B GALP INS SCT
53	Response to external stimulus	PRLH ENO1 PTHLH AVP OXT LHB RETN HAMP RLN2 CALCA GAPDH STC2 POMC GCG IAPP ADM2 EPO COX4I1 FSHB TSHB CGA GH2 ADCYAP1 UCN2 VIP GNRH1 CRH ADM GPHA2 PTH HK1 SST GHRL PFKFB1 STC1 GIP INHBB UCN PRL NPPA CALCB UCN3 GPHB5 ADIPOQ GAST CCK GALP CSHL1 INSL3 INS GH1 SCT RLN3
50	Response to stress	GAL ENO1 PTHLH AVP OXT PGK1 LHB HAMP RLN2 CALCA NDUFS8 GAPDH STC2 POMC GCG IAPP INHBA ADM2 EPO FSHB TSHB CGA ADCYAP1 VIP CRH ADM GPHA2 PTH HK1 SST GHRL PFKFB1 NDUFS2 STC1 GIP HK2 INHBB UCN TRH NPPA CALCB UCN3 GPHB5 ADIPOQ CCK GALP INSL3 INS SCT RLN3
48	Immune system process	PKM GAL PTHLH THPO AVP LHB RETN HAMP RLN2 ALDOC CALCA GAPDH POMC GCG TTR IAPP INHBA INHA ADM2 EPO FSHB TSHB CGA ADCYAP1 PFKL VIP GNRH1 CRH ADM GPHA2 ALDOA PTH HK1 GIP HK3 IGF2 PGAM1 APLN BPGM NPPA CALCB GPHB5 ADIPOQ GALP INSL3 INS SCT RLN3
48	Regulation of response to stimulus	ENO1 PTHLH THPO AVP LHB HAMP RLN2 CALCA POMC GCG IAPP INHBA INHA ADM2 EPO FSHB KL TSHB CGA GH2 INHBE ADCYAP1 VIP CRH ADM GPHA2 PTH GHRL GIP INHBB UCN IGF2 APLN PRL INHBC NPPA CALCB GPHB5 ADIPOQ CCK ENTPD5 CSHL1 INSL3 INS GH1 SCT NDUFS3 RLN3
46	Regulation of signaling	GAL ENO1 THPO AVP OXT RETN GCK CALCA POMC GCG IAPP INHBA PFKFB2 INHA EPO FSHB KL CGA GH2 INHBE ADCYAP1 PFKL CRH ADM PTH PFKM GHRL GIP INHBB UCN IGF2 TRH APLN PRL INHBC NPPA UCN3 GPHB5 ADIPOQ ENTPD5 CSHL1 INSL3 INS GH1 SCT NDUFS3
46	Regulation of multicellular organismal process	TG PKM GAL PRLH ENO1 PTHLH THPO AVP OXT PGK1 RETN HAMP RLN2 CALCA ATP5F1B GAPDH POMC NPPB IAPP INHBA INHA ADM2 FSHB KL CGA ADCYAP1 VIP CRH ADM PTH HK1 GHRL STC1 HK2 INHBB UCN IGF2 APLN PRL NPPA ADIPOQ CCK INSL3 INS GH1 SCT
45	Response to endogenous stimulus	PKM GAL PRLH OXT CGB2 LHB RETN GCK CALCA STC2 GCG INHBA EPO FSHB KL TSHB CGA GH2 ADCYAP1 UCN2 GNRH1 CRH ADM PTH SST GHRL PFKFB1 STC1 GIP INHBB UCN IGF2 TRH APLN PRL NPPA UCN3 GPHB5 ADIPOQ OSTN GALP CSHL1 INS GH1 PKLR
43	Regulation of localization	GAL AVP OXT RETN HAMP GCK CALCA ATP5F1B POMC GCG NPPB INHBA PFKFB2 INHA EPO FSHB CGA ADCYAP1 PFKL VIP GNRH1 CRH PTH PFKM SST GHRL STC1 GIP HK2 INHBB UCN TRH APLN PRL NPPA UCN3 ADIPOQ CCK OSTN INSL3 INS GH1 SCT
39	Immune response	PKM PTHLH AVP LHB RETN HAMP RLN2 ALDOC CALCA GAPDH POMC GCG TTR IAPP ADM2 FSHB TSHB CGA ADCYAP1 PFKL VIP CRH

- ❌ Publié en 2018 mais pas mis à jour depuis
- ❌ Pas bos taurus
- ❌ Grandes listes (> 3000 ID)

<http://beta-weade.cos.uni-heidelberg.de/weade>

❌ !!! Prometteur mais pas mis à jour depuis 2018, nouvelle version prévue en 2023

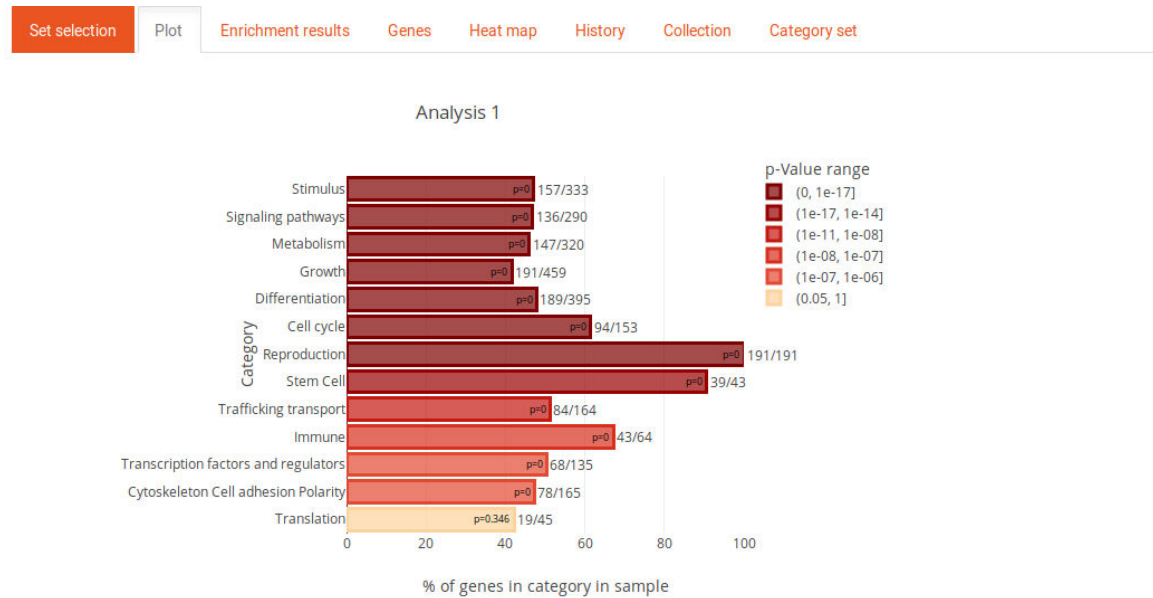
⊕ Exploration génomique de jeux de données multiples : enrichissement, comparaison de listes intra ou inter-espèces, analyses de sous-listes.

7 espèces disponibles : h. sapiens, m. musculus, d. rerio, d. melogaster, a. thaliana, c. elegans and h. vulgaris



WEADE - suite

- ➕ Création de GO term category (choix de mots-clés) pour pouvoir faire comparaison inter-espèce
→ clusterise les GO term classiques (espèce dépendants) en catégories plus générales



WEADE - suite

Interactions protéiques entre 2 listes et pathway dans lesquels intervient cette interaction:

✕ Close

Copy CSV Excel PDF Print

Search:

Set 1	Direction	Set 2	Interaction Type	n. sign. enriched pathways	Enriched Pathway (p-value)
btl	←	htl	psi-mi:"MI:0796"(suppressive genetic interaction defined by inequality)	56	Developmental Biology (8.008087070733202e-14), Signal Transduction (8.63507611)
htl	→	btl	psi-mi:"MI:0796"(suppressive genetic interaction defined by inequality)	56	Developmental Biology (8.008087070733202e-14), Signal Transduction (8.63507611)
Src64B	↔	Src64B	psi-mi:"MI:0407"(direct interaction)	53	Developmental Biology (8.008087070733202e-14), Signal Transduction (8.63507611)
Src64B	←	drk	psi-mi:"MI:0407"(direct interaction)	37	Developmental Biology (8.008087070733202e-14), Signal Transduction (8.63507611)
Src64B	→	drk	psi-mi:"MI:0796"(suppressive genetic interaction defined by inequality)	37	Developmental Biology (8.008087070733202e-14), Signal Transduction (8.63507611)
Itgbn	←	mys	psi-mi:"MI:0799"(additive genetic interaction defined by inequality)	15	Developmental Biology (8.008087070733202e-14), Axon guidance (1.074850558558)
EcR	↔	EcR	psi-mi:"MI:0407"(direct interaction)	13	Signal Transduction (8.635076112784837e-13), Gene expression (Transcription) (0.0)
mys	←	if	psi-mi:"MI:0796"(suppressive genetic interaction defined by inequality)	13	Developmental Biology (8.008087070733202e-14), Axon guidance (1.074850558558)
mys	↔	if	psi-mi:"MI:0799"(additive genetic interaction defined by inequality)	13	Developmental Biology (8.008087070733202e-14), Axon guidance (1.074850558558)
mys	→	if	psi-mi:"MI:0915"(physical association)	13	Developmental Biology (8.008087070733202e-14), Axon guidance (1.074850558558)
Itgbn	↔	scb	psi-mi:"MI:0915"(physical association)	11	Developmental Biology (8.008087070733202e-14), Axon guidance (1.074850558558)
mys	←	scb	psi-mi:"MI:0403"(colocalization)	11	Developmental Biology (8.008087070733202e-14), Axon guidance (1.074850558558)
mys	→	scb	psi-mi:"MI:0915"(physical association)	11	Developmental Biology (8.008087070733202e-14), Axon guidance (1.074850558558)
scb	→	mys	psi-mi:"MI:0403"(colocalization)	11	Developmental Biology (8.008087070733202e-14), Axon guidance (1.074850558558)
scb	←	mys	psi-mi:"MI:0915"(physical association)	11	Developmental Biology (8.008087070733202e-14), Axon guidance (1.074850558558)
Octbeta1R	↔	Octbeta2R	psi-mi:"MI:0796"(suppressive genetic interaction defined by inequality)	6	Signal Transduction (8.635076112784837e-13), Membrane Trafficking (5.914518383)
Csk	→	Src64B	psi-mi:"MI:0407"(direct interaction)	5	Signal Transduction (8.635076112784837e-13), Hemostasis (2.7769290362730236e-13)

Showing 1 to 17 of 415 entries

Data from BioGRID version 3.4.163, July 1, 2018 and Reactome.org V65, June 12, 2018

WEADE - suite

Réseau d'interactions fonctionnel (biogrid):

Active interaction types:

- Direct Interaction **1**
- Physical Association
- Colocalization
- Suppressive Genetic Interaction
- Association
- Additive Genetic Interaction
- Synthetic Genetic Interaction

Number of additional connecting nodes: **2**

FBgn0004859: ci **3**

This might take several minutes for large networks.

- Use GO distances
- Use approximate GO distances **4**
- Use fixed layout **5**

Active analyses: **7**

- Analysis 1 > Custom selection **6**

8

```
graph TD; Pka-C1((Pka-C1)) ---|direct interaction| ci((ci)); Pka-C1 ---|physical association| cmh((cmh)); ci ---|direct interaction| Chc((Chc)); cmh ---|physical association| cup((cup)); cup ---|physical association| Gp93((Gp93)); Gp93 ---|physical association| rictor((rictor)); rictor ---|physical association| chic((chic));
```




Symbol: Pka-C1
Gene ID: FBgn0000273
Analysis: Analysis 1 > Custom selection
GO: BP **9**
Terms: CC
 MF

Symbol: ci
Gene ID: FBgn0004859
Analysis: additional node
GO Terms: BP
 CC
 MF

Possibilité de rajouter des gènes

<https://david.ncifcrf.gov/tools.jsp>



- Publié en 2009, dernière mise à jour 2022
- Nombreuses espèces   



- Listes < 3000 ID



DAVID Functional Annotation Clustering Tool :

- condense les annotations redondantes pour faciliter l'interprétation biologique (compare gènes en commun).
- Calcul un score d'enrichissement pour chaque cluster (moyenne géométrique des p-values associées)

Current Gene List: 133HumanUniprot
 Current Background: Homo sapiens
 131 DAVID IDs

Options Classification Stringency Medium

Kappa Similarity Similarity Term Overlap 3 Similarity Threshold 0.50
 Classification Initial Group Membership 3 Final Group Membership 3 Multiple Linkage Threshold 0.50
 Enrichment EASE
 Thresholds 0.05
 Display Fold Change Bonferroni Benjamini FDR LT,PH,PT

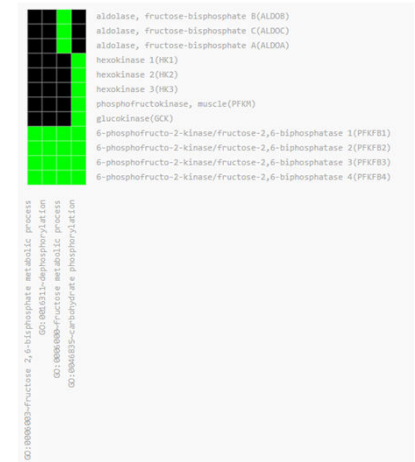
Rerun using options Create Sublist

6 Cluster(s)

Annotation Cluster	Enrichment Score	Count	P-Value	Benjamini
Annotation Cluster 1	40.99			
<input type="checkbox"/> GOTERM_BP_DIRECT	canonical glycolysis	26	1.6E-53	1.3E-50
<input type="checkbox"/> GOTERM_BP_DIRECT	glycolytic process	27	6.3E-50	2.6E-47
<input type="checkbox"/> GOTERM_BP_DIRECT	gluconeogenesis	16	1.1E-21	3.0E-19
Annotation Cluster 2	7.22			
<input type="checkbox"/> GOTERM_BP_DIRECT	carbohydrate phosphorylation	9	3.6E-12	4.2E-10
<input type="checkbox"/> GOTERM_BP_DIRECT	fructose metabolic process	7	3.2E-11	3.0E-9
<input type="checkbox"/> GOTERM_BP_DIRECT	fructose 2,6-bisphosphate metabolic process	4	4.1E-6	1.5E-4
<input type="checkbox"/> GOTERM_BP_DIRECT	dephosphorylation	4	2.7E-2	2.0E-1
Annotation Cluster 3	6.72			
<input type="checkbox"/> GOTERM_BP_DIRECT	carbohydrate phosphorylation	9	3.6E-12	4.2E-10
<input type="checkbox"/> GOTERM_BP_DIRECT	glucose 6-phosphate metabolic process	5	6.1E-7	2.8E-5
<input type="checkbox"/> GOTERM_BP_DIRECT	glucose transport	6	4.4E-6	1.5E-4
<input type="checkbox"/> GOTERM_BP_DIRECT	cellular glucose homeostasis	4	1.4E-4	2.8E-3
Annotation Cluster 4	4.5			
<input type="checkbox"/> GOTERM_BP_DIRECT	pyruvate metabolic process	7	1.1E-8	7.4E-7
<input type="checkbox"/> GOTERM_BP_DIRECT	acetyl-CoA biosynthetic process from pyruvate	4	1.4E-5	3.9E-4
<input type="checkbox"/> GOTERM_BP_DIRECT	tricarboxylic acid cycle	5	6.2E-5	1.4E-3
<input type="checkbox"/> GOTERM_BP_DIRECT	gluoxylate metabolic process	4	9.5E-4	1.2E-2
<input type="checkbox"/> GOTERM_BP_DIRECT	regulation of acetyl-CoA biosynthetic process from pyruvate	3	3.5E-3	3.7E-2
Annotation Cluster 5	3.26			
<input type="checkbox"/> GOTERM_BP_DIRECT	negative regulation of follicle-stimulating hormone secretion	3	1.7E-4	3.3E-3
<input type="checkbox"/> GOTERM_BP_DIRECT	cell development	5	2.2E-4	3.9E-3
<input type="checkbox"/> GOTERM_BP_DIRECT	regulation of MAPK cascade	5	2.5E-4	4.1E-3
<input type="checkbox"/> GOTERM_BP_DIRECT	positive regulation of pathway-restricted SMAD protein phosphorylation	5	4.6E-4	6.8E-3
<input type="checkbox"/> GOTERM_BP_DIRECT	positive regulation of follicle-stimulating hormone secretion	3	8.2E-4	1.1E-2
<input type="checkbox"/> GOTERM_BP_DIRECT	SMAD protein signal transduction	5	1.2E-3	1.4E-2
<input type="checkbox"/> GOTERM_BP_DIRECT	ovarian follicle development	4	3.8E-3	3.9E-2
Annotation Cluster 6	2.12			
<input type="checkbox"/> GOTERM_BP_DIRECT	antifungal humoral response	3	2.4E-3	2.7E-2
<input type="checkbox"/> GOTERM_BP_DIRECT	response to yeast	3	4.1E-3	4.2E-2
<input type="checkbox"/> GOTERM_BP_DIRECT	antibacterial humoral response	3	4.3E-2	2.6E-1

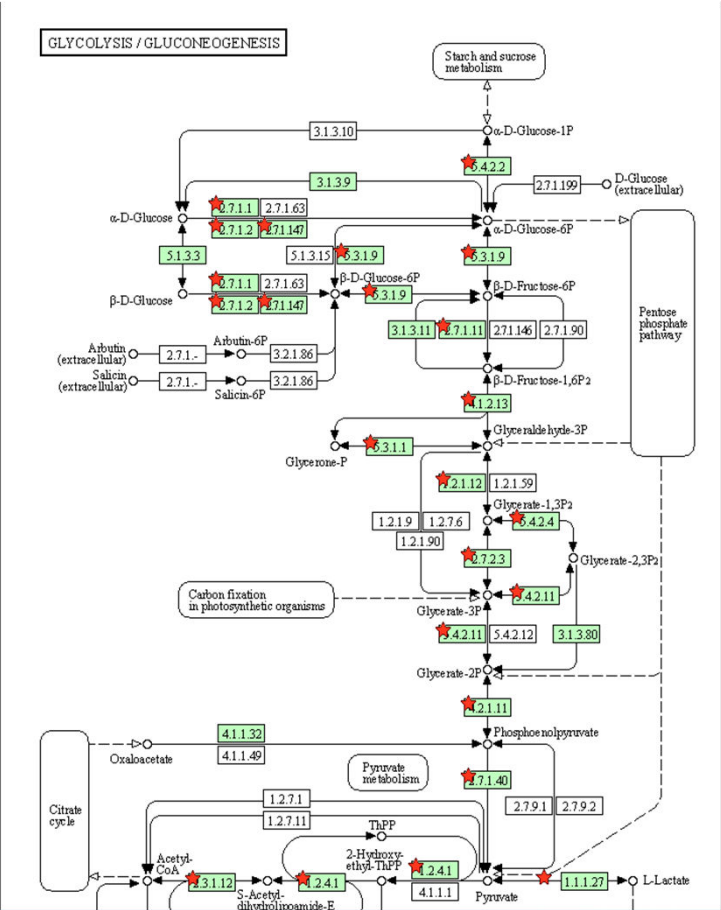
94 terms were not clustered.

Pour chaque cluster : heatmap avec gènes impliqués



DAVID - suite

Visualisation pathways KEGG et Biocarta
avec gènes/protéines d'intérêts mis en évidence





<https://metascope.org>



- Publié en 2015, mis à jour régulièrement
- Listes < 3000 ID



Interroge un très grand nombre de bases de données (>40) mises à jour tous les mois

10 espèces modèles : H. sapiens, M. musculus, R. norvegicus, D. rerio, D. melanogaster, C. elegans, S. cerevisiae, A. thaliana, S. Pombe, and P. falciparum (**mais pas bos taurus**)

+ recherche d'orthologues



Clustering des termes enrichis : idem DAVID

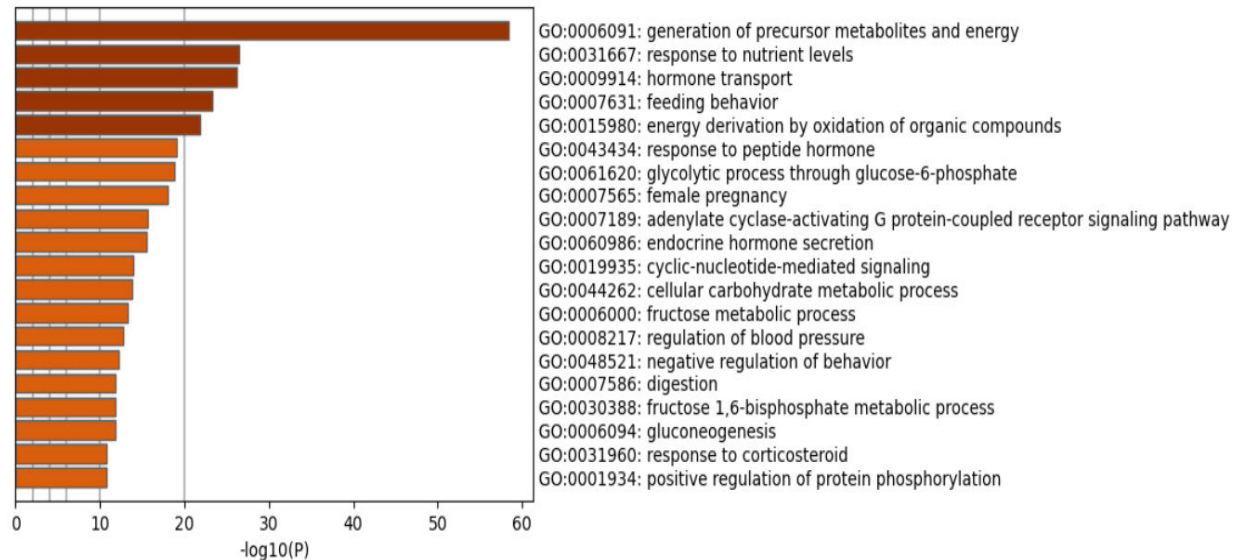


!!! Metascope garde le terme du cluster ayant la plus petite p-value pour nommer le cluster dans les graphs !!!

Bien vérifier que ce terme soit représentatif de l'ensemble du cluster

GO-BP : TOP 20 clustering Barchart :

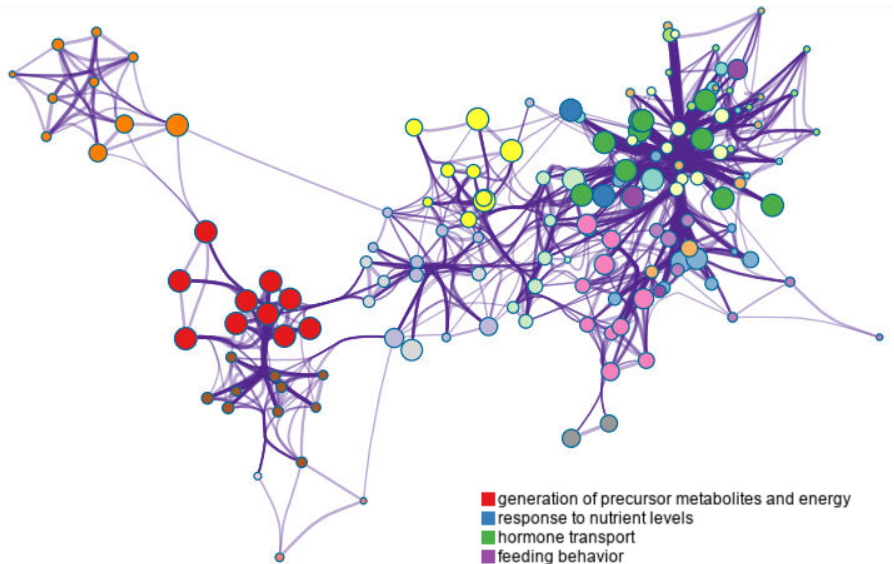
Top 100 disponible



Metascope - suite

GO-BP : Clustering network :

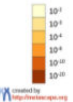
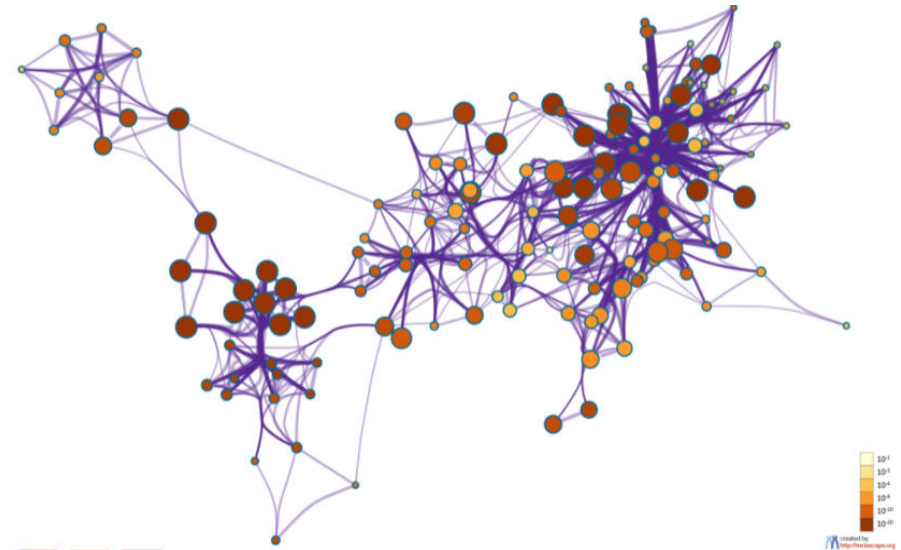
Couleur par cluster :



- generation of precursor metabolites and energy
- response to nutrient levels
- hormone transport
- feeding behavior
- energy derivation by oxidation of organic compounds
- response to peptide hormone
- glycolytic process through glucose-6-phosphate
- female pregnancy
- adenylate cyclase-activating G protein-coupled recep
- endocrine hormone secretion
- cyclic-nucleotide-mediated signaling
- cellular carbohydrate metabolic process
- fructose metabolic process
- regulation of blood pressure
- negative regulation of behavior
- digestion
- fructose 1,6-bisphosphate metabolic process
- gluconeogenesis
- response to corticosteroid
- positive regulation of protein phosphorylation

GO-BP : Clustering network :

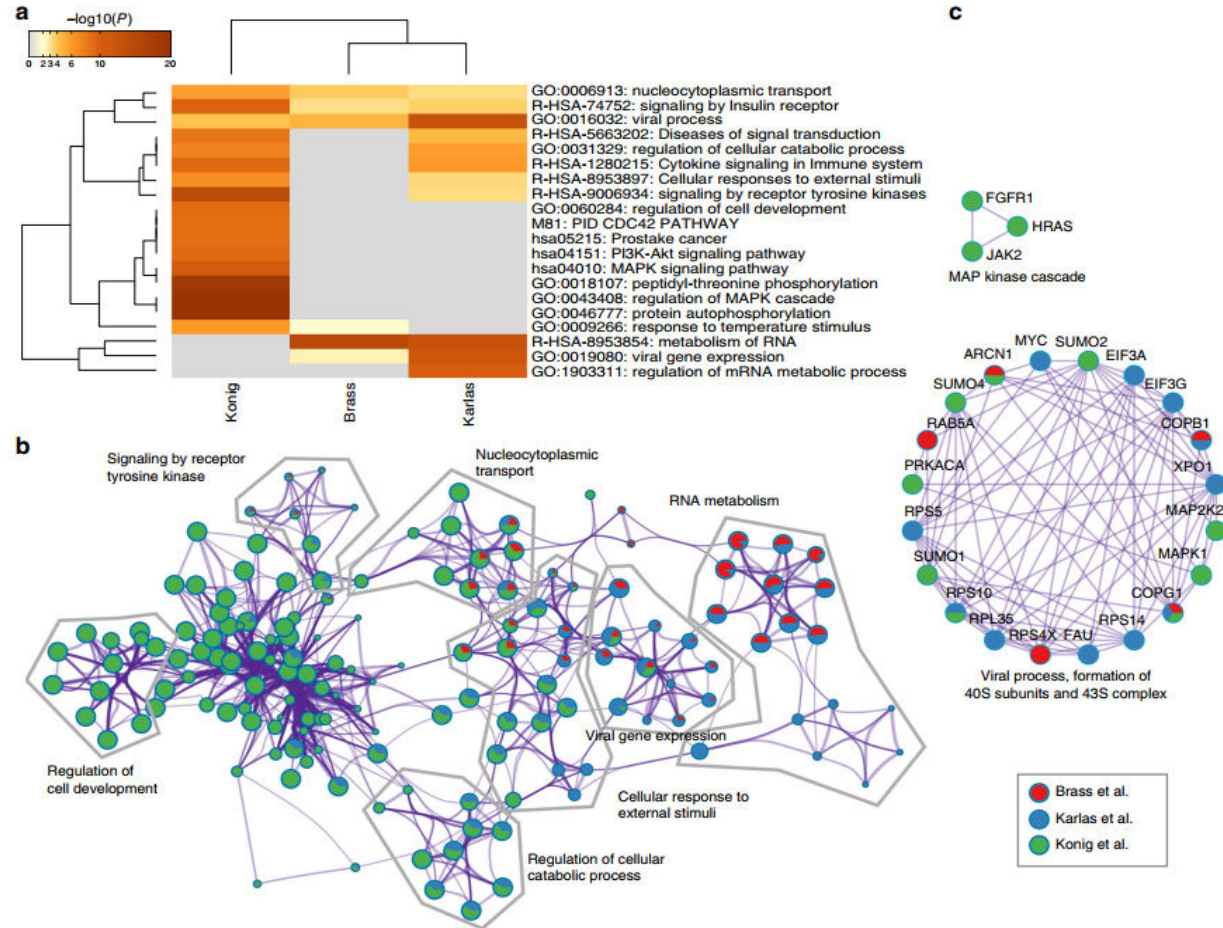
Couleur par p-value :





Comparaison de listes Analyse de données multi-omiques

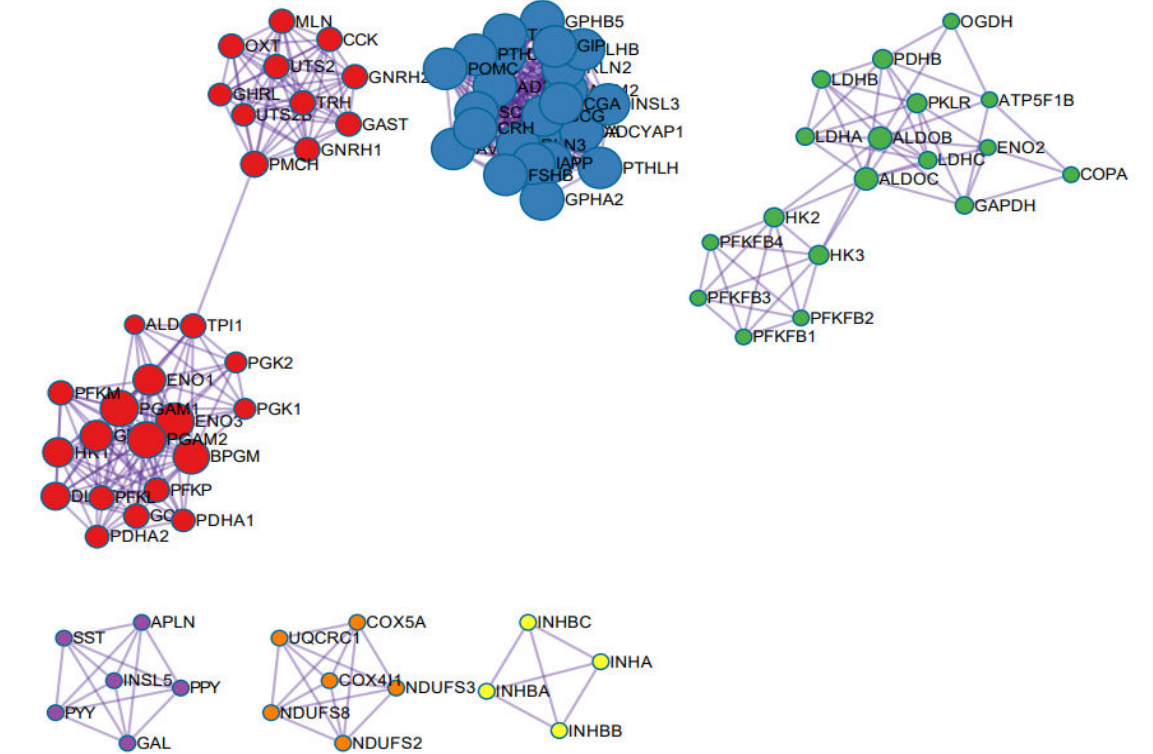
Metascape - suite



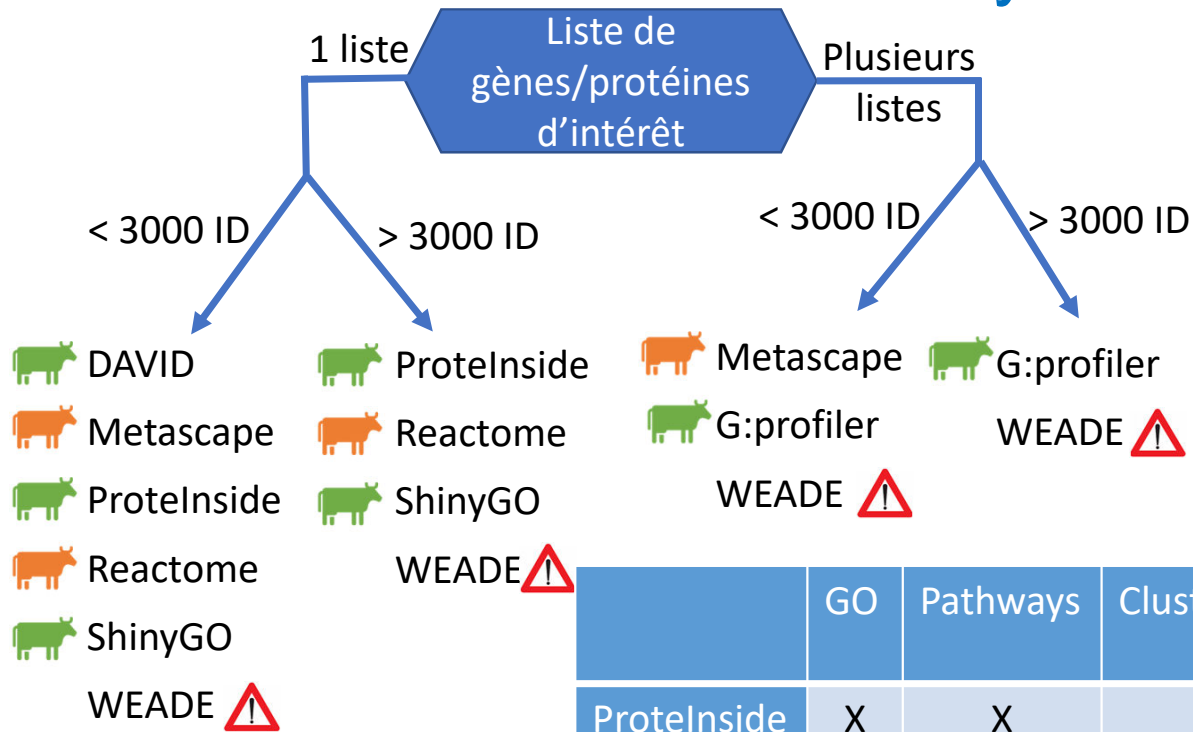
Circos plot

Metascope - suite

Interactions protéiques :



Synthèse



 Bos taurus
 Orthologie
 Mise à jour à venir

PPI : protein-protein interactions

	GO	Pathways	Clustering	Enrichment Network	PPI	Multi-list	>3000 ID	Bos taurus
ProteInside	X	X			X	PPi only	X	X
G:profiler	X	X				X	X	X
Reactome	X	X				X	X	orthologs
ShinyGO	X	X	X	X			X	X
DAVID	X	X	X					X
Metascope	X	X	X	X	X	X		orthologs
WEADE	X	X	X		X	X	X	



THANK YOU FOR

your attention

